

V-211 断面の温度差によるコンクリート格子桁橋の応力について

北海道工業大学 正食 猪又 稔
同上 正食 畑中 裕

1. まえがき

気温の日変化、日照、風などの影響をうけて断面内に温度差が生じて温度応力を発生させることになるが、コンクリート格子桁においては温度差による横桁の曲げ変形が主桁によって拘束されるため、さらに二次的な応力が生じることになる。以上について検討した結果を報告する。

2. 二次断面力の解析

いま図へ1に示すような格子桁において横桁断面の温度差によって発生する横桁の節点モーメント(不静定力)を求める式は

$$2^{(i)}(M_{r,r-1} - M_{r,r+1}) + ^{(o)}(M_{r,r-1} - M_{r,r+1}) = 0 \quad r=1 \sim n \quad (1)$$

$$^{(o)}(M_{r,r-1} + 2M_{r,r-1} + 2M_{r,r+1} + M_{r,r+1}) = -6M_o \quad r=2 \sim (n-1) \quad (2)$$

$$\begin{aligned} & 2^{(o)}(M_{r,r+1} + \omega M_{r,r+1} + \beta M_{r,r+1} - (\beta - 12\mu)M_{r,r-1} - 2(\beta + 6\mu + 1)M_{r,r+1} \\ & + (2\beta - 1)M_{r,r+1} + \beta M_{r,r+1} - \beta M_{r,r+1}) = 3(M_o - \omega M_o) \end{aligned}$$

$$r=1 \sim (n-1) \quad (3)$$

$$\begin{aligned} & 2^{(o)}(M_{r,r-1} + 2\omega M_{r,r-1} - \beta M_{r,r-1} + \beta M_{r,r-2} + (2\beta - 1)M_{r,r-1} \\ & - 2(\beta + 6\mu + 1)M_{r,r-1} - (\beta - 12\mu)M_{r,r+1} + \beta M_{r,r+1}) = 3(M_o - \omega M_o) \end{aligned}$$

$$r=2 \sim n \quad (4)$$

ここに

$$\beta = \frac{(\ell)^3}{2a} \frac{EI}{E_0 I_0} \quad \mu = \frac{\ell}{8a} \frac{EI}{GJ} \quad \omega = \frac{I}{I^r}$$

ℓ : 主桁のスパン長 a : 主桁間隔

$E_0 I_0$: 主桁の曲げ剛性 GJ : 主桁のねじり剛性

EI : 中間横桁の曲げ剛性 I^r : 端横桁の断面二次モーメント

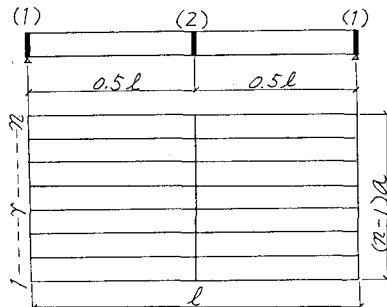
M_o : 横桁(i)の温度分布形状(図へ3)によってきまる荷重項でありコンクリートの線膨張係数を α 、横桁のフランジ部断面積を A_f とすればつきのようになる。

$$\text{case (1)} \quad M_o = -\alpha \cdot \Delta T \cdot E \cdot A_f^{(i)} (y' - t/2) \quad (6)$$

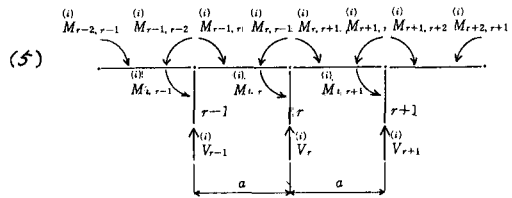
$$\text{case (2)} \quad M_o = -0.5\alpha \cdot \Delta T \cdot E \cdot A_f^{(i)} (y' - t/2) \quad (7)$$

式(1)～(4)から所要の方程式がえられるから M_o は求まることになる。横桁(i)、主桁Tの荷重力 F_o はつきのようになるから二次断面力は容易に求まることになる。

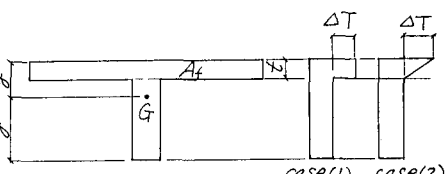
$$F_o = \frac{1}{a} (M_{r,r-1} - M_{r,r-1} - M_{r,r+1} + M_{r,r+1}) \quad (8)$$



図へ1 格子桁一般図



図へ2 横桁(i)の不静定力



図へ3 温度分布形状

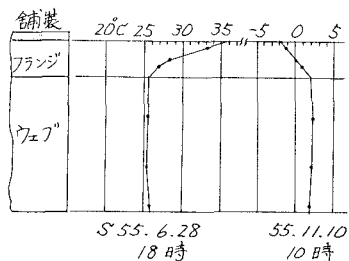
3. 断面の温度分布

温度分布は気象条件によって異なる。図へ4は温度分布の一例として札幌市的一条大橋において昭和55年6月から1年余にわたって観測された資料¹⁾から主桁断面のフランジ部とウェブ部の温度差の大きい実測値を、また

その時の天気状況を表へ1に示した。温度分布は図へ3のcase(2)に近いものとなり ΔT は約 -4°C ~ 10°C であった。

表へ1 天気状況(札幌管区気象台)

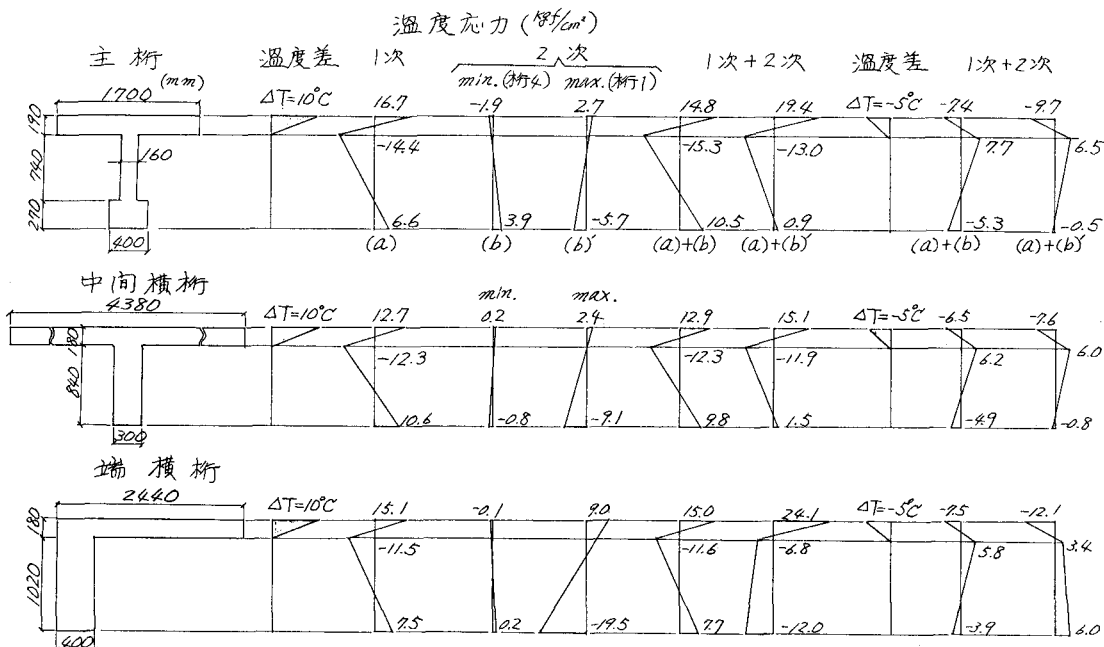
| | 55. 6. 28 | 55. 11. 10 |
|----------------------------------|-----------|------------|
| 天 气 (6時~18時) | 晴 | 晴 |
| 最高 気温($^{\circ}\text{C}$) | 25.6 | 8.5 |
| 最低 気温($^{\circ}\text{C}$) | 15.9 | -1.7 |
| 平均 風速 (m/sec) | 2.3 | 1.1 |
| 日 照 時 間 (h) | 9.3 | 8.7 |
| 全 天 日 射 量 (cal/cm ²) | 648 | 246 |



図へ4 温度分布測定値

4. 数値計算とまとめ

数値計算に用いる諸数値はつきのとおりである。 $n=8$, $l=20\text{m}$, $a=1.75\text{m}$, $\alpha=10 \times 10^{-6}$, $\Delta T=10^{\circ}\text{C}$, -5°C 主桁; $I_0=0.0878\text{m}^4$, $J=0.0060\text{m}^4$, $E_0=3.5 \times 10^6 \text{t/m}^2$, $G=0.43E_0$, $A=0.5494\text{m}^2$, $A_f=0.3230\text{m}^2$ 中間横桁; $I=0.0666\text{m}^4$, $E=3.0 \times 10^6 \text{t/m}^2$, $A=1.040\text{m}^2$, $A_f=0.9884\text{m}^2$, $t=0.18\text{m}$, $y'=0.214\text{m}$ 端横桁; $I'=0.1127\text{m}^4$, $E=3.0 \times 10^6 \text{t/m}^2$, $A=0.8692\text{m}^2$, $A_f=0.4392\text{m}^2$, $t=0.18\text{m}$, $y'=0.379\text{m}$



図へ5 主桁および横桁の温度应力

図へ5に温度应力をまた表へ2に $\Delta T=10^{\circ}\text{C}$ のときの主桁反力と設計荷重による平均の主桁反力に対する増減の割合を示したものである。以上検討の結果まとめれば“つき”的ようになる。(1)実測によれば温度分布は床版(フランジ部)において三角形、ウェブ部においては一定値を示した。(2)設計上の床版とウェブ部の温度差は床版において三角形分布とし、その上面の値は -5°C ~ 10°C の範囲を考慮して温度应力を求めるのが適當と思われる。(3)数値計算の結果、 -5°C ~ 10°C の温度差によって生じる温度应力は主桁、横桁にとって多少の差はあるが正縮で 20kgf/cm^2 、引張で 10kgf/cm^2 程度の应力が起りうるので設計上配慮が必要であろう。(4)床版とウェブ部の温度差によって主桁支点反力は可成変動するので注意を要する。

参考文献 1) 中島義勝「気温変化にともなうコンクリート橋(一条大橋)の温度分布」昭和55年度建築大卒論

| 主桁No. | 反力(kN) | 増減比 |
|-------|--------|-------|
| 1 | 16.2 | 0.46 |
| 2 | -19.5 | -0.55 |
| 3 | 4.8 | 0.14 |
| 4 | -1.5 | -0.04 |